

## مطالعه عددی تولید صدا در جریان حول سیلندر مربعی در زوایای حمله مختلف\*

محسن محمدرضایی<sup>(۱)</sup>علی اکبر دهقان<sup>(۲)</sup>علیرضا موحدی<sup>(۳)</sup>

**چکیده** پارامترهای جریان و سطح فشار صوت در دوردست آکوستیکی و برروی سطح یک سیلندر مربعی در شش زاویه حمله مختلف مورد بررسی قرار گرفته است. حل عددی با نرم‌افزار تجاری فلوئنت و باستفاده از مدل اختشاشی رهیافت گردابه‌های بزرگ شبیه‌سازی شده است. از مقایسه نتایج حل عددی با نتایج تجربی موجود، مشخص گردید که نتایج حل جریان و سطح فشار صوت مطابقت قابل قبولی با نتایج تجربی دارند. کمترین مقدار ضرایب متوسط نیروهای برآ و پسا و مجنور میانگین مربعات نیروی برآ در محدوده زاویه حمله ۱۳ درجه روی داده و نیز کمترین مقدار سطح فشار صوت در دوردست آکوستیکی نیز در این محدوده واقع شده است که متأثر از حداقل شدن نوسانات نیروی برآ و پسا است. میدان آکوستیکی تولید شده ناشی از نوسانات نیروی برآی وارد بر سیلندر می‌باشد.

**واژه‌های کلیدی** سیلندر مربعی؛ سطح فشار صوت؛ آشفتگی؛ رهیافت گردابه‌های بزرگ.

## Numerical Investigation of Flow Induced Sound Around a Square Cylinder at Various Incidence Angles

M. Mohamadrezaei      A.A. Dehghan      A. Movahedi

**Abstract** Flow characteristics and sound pressure level in the acoustical far field and on the surface of a square cylinder at incidence are investigated for six angles of attacks. Flow around square cylinder is modeled using large eddy simulation method. The flow simulation is conducted using fluent commercial software. The results of the present study showed good agreement with the available experimental results. The minimum of drag coefficient, mean and root mean squared (rms) value of lift coefficient, and sound pressure level in acoustical far field occurred at 13° angle of attack which is due to the lowest values of fluctuating lift and drag forces at this angle of attack. The induced acoustic field is due to the fluctuating lift force acting on the rod.

**Key Words** Square cylinder; sound pressure level; turbulence; large eddy simulation.

\*تاریخ دریافت مقاله ۹۴/۷/۲۷ و تاریخ پذیرش آن ۹۵/۳/۱۸ می‌باشد.

(۱) کارشناسی ارشد، مهندسی مکانیک، دانشگاه یزد.

(۲) نویسنده مسئول: دانشیار، مهندسی مکانیک، دانشگاه یزد. adehghan@yazd.ac.ir

(۳) دانشجوی دکتری، مهندسی مکانیک، دانشگاه یزد.

## مقدمه

جريان سیال اطراف سیلندر یکی از مسائل قدیمی و پر طرفدار است که هر چند که بسیار ساده می نماید، اما هنوز جنبه های حل نشده بسیاری در آن وجود دارد. تحقیقات بسیاری اعم از تجربی، تحلیلی و عددی در این زمینه انجام پذیرفته، اما همچنان جنبه های مهمی در این مسئله باقی مانده است. یکی از جنبه های بررسی جريان حول سیلندرها که کمتر مورد بررسی قرار گرفته است، موضوع تولید صدا است. سیلندرها می توانند نقش مهمی در تولید صدا در زندگی روزمره داشته باشند و کاربردهایی از این دست در صنعت نیز دیده می شوند. از این جمله می توان به مواردی مثل حصارهای به کار رفته در مهندسی معماری، کابل های محافظ در پل ها در مهندسی عمران، پانتوگراف قطارها، مجموعه چرخ هواپیما و... اشاره نمود [1].

ناپایداری جريان باعث نوسانات در نیروهای آبیرو دینامیکی می شود. در بیشتر موارد این پدیده به دلیل ریزش متناوب گردابه است. ارتعاشی که در اثر این نیروهای نوسانی ایجاد می شود، ساختار مکانیکی جسم را تهدید می کند. از طرفی ریزش متناوب گردابه در مقطع عرضی سیلندر باعث تولید صدا نیز می شود، که این صدا می تواند تأثیرات نامطلوبی داشته باشد. به عبارت دیگر، این جريان ناپایا تولید امواج آکوستیک می کند که باعث آلودگی صوتی محیطی می شود. توانایی کنترل صدای تولید شده و طراحی وسایلی برای کاهش نویز ناشی از جريان حول اجسام جريان بند نیاز به شناخت مفاهیم مکانیزم تولید صدا دارد [2].

فهمیدن ارتباط متقابل بین جسم جريان بند، دنباله ایجاد شده پشت آن و نیروهای وارد بر آن بسیار مهم است و سال ها تحقیقات گسترده ای روی آن انجام شده است. با توجه به اهمیت ضرایب نیروی برآ و پسا در مبحث آکوستیک، برخی از پژوهشگران رابطه ضرایب

برآ و پسا را به صورت تابعی از زاویه حمله به صورت تجربی ارائه کرده اند.

ویکری [3] نوسانات ضرایب نیروی برآ و پسا برروی سیلندر مربعی طویل ( $d/l = 30$ ) در حالت آرام و آشتفته را به صورت تجربی بررسی کرد. براساس نتایج آزمایش ها، میزان نوسانات نیروی برآ برای سیلندر مربعی، از سیلندر دایره ای بیشتر است. عدد استروهال برای سیلندر مربعی به آرامی با زاویه حمله تغییر می کند و آشتفتگی تأثیر کمی روی عدد استروهال دارد. شدت آشتفتگی جريان بالادست تأثیر به سزایی روی ضریب برآ دارد.

برمن و اباساجو [4] نوسانات فشار سطحی برروی سیلندر مربعی در حالت ثابت و نوسانگر در راستای عرضی را به صورت تجربی مورد بررسی قرار دادند. این بررسی نشان داد ضریب برآ نوسانی سیلندر مربعی بیشتر از سیلندر دایره ای است و ضریب برآ در حالت نوسان سیلندر حدود ۵٪ بیشتر از حالت سکون است.

ایگاراشی [5] پارامترهای جريان حول سیلندر مربعی در زاویای حمله بین صفر تا ۴۵ درجه را برای اعداد رینولدز زیر بحرانی به صورت تجربی بررسی کرد. نتایج نشان می دهد بیشترین مقدار عدد استروهال و کمترین مقدار ضریب برآ و پسا در محدوده زوایای حمله بین ۱۳ و ۱۴ درجه به دست آمده است. ضریب نوسانات فشار نیز در این محدوده به حداقل خود می رسد.

کنیسلی [6] تغییر عدد استروهال در مجموعه ای از سیلندرهای مستطیلی با نسبت اضلاع  $1 \leq B/D \leq 0.04$  (بعد عرضی و  $D$  بعد در راستای جريان سطح مقطع سیلندر) در زوایای حمله مختلف را مورد بررسی قرار داده است. این بررسی نشان داد به غیر از نازک ترین حالت با تغییر زاویه حمله عدد استروهال روند یکسانی را طی می کند. در محدوده زوایای حمله بین صفر تا

فاصله یک متری از سیلندر در زوایای حمله مختلف را به روش تجربی بررسی کردند. این بررسی نشان داد جریان اطراف سیلندر در زاویه حمله ۱۳ درجه با زوایای دیگر متفاوت است. در این زاویه جدایی جریان در لبه جلویی و اتصال به سطح در نزدیکی لبه عقبی رخ می‌دهد. در این زاویه کمترین سطح فشار صوت اندازه‌گیری شده است. در این مطالعه نحوه تغییرات عدد استروهال در زوایای حمله مختلف نیز بررسی شده است. از زاویه صفر تا حدود ۱۰ درجه تغییرات زیادی در عدد استروهال دیده نمی‌شود، ولی این کمیت ناگهان با شبیه تندی در زاویه حمله ۱۳ درجه به حداقل مقدار خود می‌رسد و سپس تا زاویه ۴۵ درجه کاهش می‌یابد. نحوه تغییرات سطح فشار صوت در زوایای حمله مختلف نیز بررسی شده است. مقدار سطح فشار صوت از زاویه حمله صفر درجه با شبیه سریعی به حداقل مقدار خود در زاویه حمله سیزده درجه می‌رسد و با شبیه سریعی تا محدوده زاویه حمله پانزده درجه افزایش می‌یابد و سپس تقریباً ثابت می‌ماند.

تامورا و میاگی [10] تأثیر آشفتگی جریان بالادست بر روی نیروهای آبیودینامیکی وارد بر سیلندرهای دو بعدی و سه بعدی مربعی با شکل گوشه‌های متفاوت را به صورت تجربی بررسی کردند. نتایج نشان می‌دهد برش اریب و برش ساعی باعث کاهش پسا و عرض دنباله می‌شود و نیز در سیلندر با برش ساعی ضریب برآ ناگهان به کمترین مقدار خود در زاویه حمله چهار یا پنج درجه می‌رسد. مقدار ضریب برآ در حالت سه بعدی حدود ۱۰ درصد از حالت دو بعدی کمتر است و هم‌چنین ایجاد برش اریب در گوشه‌ها باعث کاهش زاویه بحرانی به هفت درجه می‌شود. تغییرات عدد استروهال در زوایای حمله مختلف نیز مورد بررسی قرار گرفته است. برای سیلندر مربعی بیشترین مقدار عدد استروهال با کمترین ضریب برآ همراه است.

۱۳ درجه با افزایش زاویه حمله، عدد استروهال افزایش می‌یابد و سپس تا زاویه حمله ۴۵ درجه با افزایش زاویه حمله عدد استروهال کاهش می‌یابد. بیشترین مقدار عدد استروهال و حداقل ضریب برآ و پسا در محدوده زوایای حمله بین ۱۳ و ۱۴ درجه روی داده است.

نوربرگ [7] نیروهای فشاری و فرکانس ریزش گردابه حول سیلندر مستطیلی با نسبت اضلاع مختلف را در محدوده زاویه حمله بین صفر تا ۹۰ درجه و برای دو عدد رینولدز به صورت تجربی بررسی کرد. نتایج نشان می‌دهد که ضرایب برآ و پسا در اعداد رینولدز مختلف روند یکسانی دارند. ضرایب برآ و پسا در ابتدا با افزایش زاویه حمله کاهش می‌یابند تا به کمترین مقدار خود می‌رسند و سپس با افزایش زاویه حمله این ضرایب افزایش می‌یابند.

ردی [8] شبیه‌سازی جریان حول سیلندر مربعی طویل در عدد رینولدز ۲۲,۰۰۰ را به منظور بررسی رفتار دو بعدی جریان و جریان اطراف مکعب قرار گرفته بر روی صفحه در عدد رینولدز ۴۰,۰۰۰ با هدف بررسی رفتار سه بعدی جریان انجام داد. نتایج سیلندر مربعی طویل حاکی از آن است که مدل توربولانسی  $4 - k$  نتایج رضایت‌بخشی را پیش‌بینی نکرده است. شبیه‌سازی جریان در حالت سه بعدی با مدل توربولانسی  $4 - k$  جریان بر روی صفحه بالایی مکعب را ضعیف پیش‌بینی کرده است. شبیه‌سازی با رهیافت گردابه‌های بزرگ جزئیات جریان را بهتر نشان می‌دهد و تمام نتایج رضایت‌بخش و خوب است؛ ولی زمان محاسبات با این مدل چند برابر روش‌های دیگر است. با مقایسه نتایج رهیافت گردابه‌های بزرگ بهوضوح مشخص است که این مدل پتانسیل بیشتری برای پیش‌بینی پیچیدگی‌های جریان دارد.

فوجیتا و همکاران [9] صدای آبیودینامیکی تولیدشده به وسیله جریان حول سیلندر مربعی در

پیش‌بینی نمی‌کند؛ ولی در شبکه با تعداد سلول‌های مناسب نتایج پیش‌بینی شده برای زاویه حمله صفر درجه مطابقت خوبی با نتایج مطالعات دیگر دارد. شبیه‌سازی جریان برای زاویه حمله سیزده درجه پیچیده‌تر است. زیرا در این زاویه اتصال جریان به سطح جانبی سیلندر در نزدیکی لبه پشتی اتفاق می‌افتد و این زاویه، زاویه بحرانی است. رهیافت گردابه‌های بزرگ، الگوی متوسط جریان و سطح فشار صوت را با دقت مناسبی پیش‌بینی کرده است.

با توجه به پیچیده بودن شبیه‌سازی عددی جریان آشفته و نیز ارتباط نزدیک میدان آکوستیکی حول اجسام مختلف با این نوع جریان، مطالعات عددی زیادی در این زمینه انجام نشده است. از جهتی با توجه به عدم توانایی نرم‌افزار فلوئنت در محاسبه صحیح سطح فشار صوت بالاستفاده از نوسانات فشار سطحی، مطالعات عددی موجود نیز بیشتر با تکیه بر بررسی آکوستیک جریان در دوردست آکوستیکی انجام شده است. لذا مطالعه حاضر به بررسی عددی آکوستیک جریان بالاستفاده از مشخصات جریان روی سطح سیلندر و نیز در دوردست آکوستیکی پرداخته است. هم‌چنین پارامترهای جریان حول سیلندر مربعی در زوایای حمله بین صفر تا ۴۵ درجه برای اعداد رینولدز مختلف، به صورت عددی بررسی و ارائه شده‌اند.

### انتشار صوت

در مطالعه حاضر، برای محاسبه سطح فشار صوت در دوردست آکوستیکی از نرم‌افزار تجاری فلوئنت و از روش ویلیامز-هاکینز [14] استفاده شده است. معادله دیفرانسیلی که در این روش حل می‌شود با کمی تغییر نسبت به معادله اولیه لایتهیل [15] با فرض این‌که منبع ایجاد صوت یک سطح بسته را تشکیل می‌دهد، به صورت رابطه (۱) است.

چن و لیو [11] به صورت تجربی ریزش گردابه و فشار سطحی برروی سیلندر مربعی در اثر برخورد جریان یکنواخت هوا را بررسی کردند. این بررسی نشان داد برای اعداد رینولدز بیشتر از ۵۳۰۰ عدد استروهال روند یکسانی با تغییر زاویه حمله دارد و برای تمامی اعداد رینولدز مورد بررسی به بیشترین مقدار خود در زاویه حمله سیزده درجه می‌رسد. تغییر عدد رینولدز تأثیری بر توزیع فشار روی سطح جلویی ندارد ولی فشار روی سطوح دیگر با تغییر عدد رینولدز تغییر می‌کند.

هاچسون و توماس [12] به صورت تجربی تأثیر زیری سطح و عدد رینولدز بر صدای تولیدشده از یک سیلندر مربعی در زوایای حمله صفر، ۳۰ و ۴۵ درجه را مورد بررسی قرار دادند. نتایج نشان می‌دهد زیری سطح تغییر قابل توجهی در عدد استروهال ایجاد نمی‌کند و از جهتی تغییرات عدد استروهال در اعداد رینولدز مختلف چشمگیر نیست و تقریباً ثابت می‌ماند. هم‌چنین زیری سطح تغییرات قابل توجهی در حداکثر سطح شدت صوت ایجاد نمی‌کند.

دورنینو [2] سطح فشار صوت منتشر شده ناشی از جریان حول سیلندر مربعی را به صورت تجربی در دوردست آکوستیکی بررسی کرد. این بررسی نشان داد که بیشترین مقدار عدد استروهال و حداقل ضرب برا و پسا و حداقل مقدار سطح فشار صوت در محدوده زوایای حمله بین ۱۳ و ۱۴ درجه روی داده است. سطح فشار صوت با افزایش زاویه حمله تا زاویه حمله ۱۳ درجه کاهش می‌یابد و سپس با افزایش زاویه حمله سطح فشار صوت نیز افزایش می‌یابد.

مولر [13] کار تجربی دورنینو [2] را به صورت عددی با رهیافت گردابه‌های بزرگ شبیه‌سازی کرد. نتایج حل عددی جریان نشان می‌دهد شبیه‌سازی با شبکه‌ای با تعداد سلول‌های کم در مدل رهیافت گردابه‌های بزرگ بعضی از ویژگی‌های جریان را اصلاً

$$U_i = v_i + \frac{\rho}{\rho_0} (u_i - v_i) \quad (3)$$

$$L_i = P_{IJ} n_j + \rho u_i (u_n - v_n) \quad (4)$$

در رابطه (۲)،  $M$  بردار عدد ماخ، اندیس  $r$  نشان دهنده مؤلفه در راستای انتشار صوت (شعاعی) و  $n$  نشان دهنده مؤلفه عمود بر صفحه تولید صدا است.  $L_r$  بیانگر ضرب دو متغیر است ( $L_i r_i = L_r$ ). نقطه بر روی بعضی پارامترها، مفهوم مشتق زمانی را بیان می کند.

فرآیند حل آکوستیکی به این صورت است که ابتدا یک سطح بسته، حول جسم مورد مطالعه در نظر گرفته می شود. پس از حل معادلات ناویر استوکس در گام های زمانی کوچک و درون این سطح بسته، متغیرهای فشار، گرادیان فشار و سرعت در گام های زمانی مختلف بر روی سطح مشخص می گردند. با در اختیار داشتن این اطلاعات و باستفاده ازتابع گرین انتگرال معادله موج آکوستیکی حل و فشار آکوستیکی در نقاط دور دست محاسبه می شود.

سطح فشار صوت ارتباط شدت صوت در نقطه مشاهده کننده باشدت صوت مبنای است که به صورت رابطه (۵) نشان داده می شود. واحد سطح فشار صوت دسی بل است.

$$spl = 20 \log \frac{p_{rms}}{p_0} \quad (5)$$

$p_0$  فشار مبنای و برابر با  $20$  میکروپاسکال [17] است. لایتهیل [15] معادله صدای تولید شده به وسیله جریان حول یک جسم را، در دور دست یعنی مکانی که سیال ساکن است (دور دست آکوستیکی) به دست آورده است، لذا نرم افزار فلوئنت توانایی محاسبه صحیح سطح فشار صوت را بر روی سطح جامد (یعنی جایی که در معرض حرکت سیال است) ندارد. به این منظور تغییرات فشار با زمان در  $32$  نقطه بر روی سطح سیلندر

$$\begin{aligned} \frac{1}{a_0^2} \frac{\partial^2 p'}{\partial t^2} - \nabla^2 p' &= \frac{\partial^2}{\partial x_i \partial x_j} (T_{ij} H(f)) \\ &- \frac{\partial}{\partial x_i} ((P_{ij} n_j + \rho u_i (u_n - v_n)) \delta(f)) \\ &+ \frac{\partial}{\partial t} ((\rho_0 v_n + \rho (u_n - v_n)) \delta(f)) \end{aligned} \quad (1)$$

در این معادله اندیس  $i$  نشان دهنده مؤلفه هر متغیر در راستای  $x_i$  و اندیس  $n$  نشان دهنده مؤلفه عمود بر صفحه تولید صدا است.  $u$  سرعت جریان و  $v$  سرعت صفحه تولید صداست.  $f$  تابع دلتای دیراک و  $H(f)$  تابع پله است. متغیر  $f$  به گونه ای است که مقدار صفر آن سطح تولید صدا و مقادیر بزرگ تر از صفر آن ناحیه انتشار موج را تشکیل می دهد. در این رابطه  $T_{ij}$  تانسور تنش لایتهیل است.

حل کامل معادله ویلیامز-هاکینز نیازمند استفاده از انتگرال های سطحی و حجمی است. انتگرال های سطحی معرف منابع صوت درجه یک، درجه دو و در برخی موارد درجه چهار است. در حالی که انتگرال های حجمی معرف منبع صوت درجه چهار هستند که نویز حجم سیال اطراف بدنه را مدل می کند. منبع صوت درجه چهار از منبع صوت درجه دو بسیار ضعیفتر است [16] لذا در نرم افزار فلوئنت از انتگرال های حجمی صرف نظر شده است. بنابراین فشار آکوستیکی برابر هر یک از فشارهای آکوستیکی تولید شده توسط منابع صوت درجه یک و درجه دو است که به صورت رابطه (۲) به دست آمده است.

$$\dot{p}(\vec{x}, t) = \dot{p}_T(\vec{x}, t) + \dot{p}_L(\vec{x}, t)$$

$$\begin{aligned} 4\pi \dot{p}_T(\vec{x}, t) &= \int_{f=0} \left[ \frac{\rho_0 (\dot{U}_n + U_{\dot{n}})}{r(1-M_r)^2} \right] ds \\ &+ \int_{f=0} \left[ \frac{\rho_0 U_n \{rM_r + c_0(M_r - M^2)\}}{r^2(1-M_r)^3} \right] ds \end{aligned}$$

$$\begin{aligned} 4\pi \dot{p}_L(\vec{x}, t) &= \frac{1}{c_0} \int_{f=0} \left[ \frac{\dot{L}_r}{r(1-M_r)^2} \right] ds \\ &+ \int_{f=0} \left[ \frac{L_r - L_M}{r^2(1-M_r)^2} \right] ds \\ &+ \frac{1}{c_0} \int_{f=0} \left[ \frac{L_r \{rM_r + c_0(M_r - M^2)\}}{r^2(1-M_r)^3} \right] ds \end{aligned} \quad (2)$$

اندازه مقیاس‌های موجود در جریان انجام می‌گیرد. در این فرآیند، یک متغیر عمومی به یک مؤلفه با مقیاس بزرگ و یک مؤلفه با مقیاسی کوچک‌تر از اندازه شبکه تجزیه می‌شود. فیلتر نمودن سرعت به صورت معادله (۷) تعریف می‌شود [۱۹].

$$\bar{u}_i = \int G(x, \hat{x}) u_i(\hat{x}) d\hat{x} \quad (7)$$

در این رابطه منظور از  $G(x, \hat{x})$  تابع فیلتر است که نوسانات مکانی با طولی کوچک‌تر از  $\Delta x$  را میرا می‌کند. اگر معادلات ناویر استوکس فیلتر شوند معادلات به دست آمده شباهت زیادی با معادلات متوسط‌گیری شده زمانی ناویر استوکس (معادلات RANS) دارند. برای جریان تراکم‌ناپذیر بدون نیروی حجمی معادله ساده شده ناویر استوکس در شبیه‌سازی گردابه‌های بزرگ به صورت معادله (۸) است:

$$\frac{\partial \bar{u}_i}{\partial t} + \frac{\partial \bar{u}_i \bar{u}_j}{\partial x_j} + \frac{\partial \tau_{ij}}{\partial x_j} = -\frac{1}{\rho} \frac{\partial \bar{p}}{\partial x_i} + \nu \frac{\partial^2 \bar{u}_i}{\partial x_j \partial x_j} \quad (8)$$

در مفاهیم رهیافت گردابه‌های بزرگ تنش‌های مقیاس زیرشبکه به صورت معادله (۹) است.

$$\tau_{ij} = (\bar{u}_i \bar{u}_j - \bar{u}_i \bar{u}_j) + (\bar{u}_i \bar{u}_j + \bar{u}_j \bar{u}_i) + \bar{u}_i \bar{u}_j \quad (9)$$

نقش تنش مورد اشاره در معادله فوق، در رهیافت گردابه‌های بزرگ مشابه تنش رینولدز در معادلات متوسط‌گیری شده ناویر استوکس است. در همین ارتباط، در سال ۱۹۶۳ اسماگورینسکی تنش‌های مقیاس زیرشبکه را به صورت معادله (۱۰) ارائه داد.

$$\tau_{ij} - \frac{1}{3} \tau_{kk} \delta_{ij} = -v_T \left( \frac{\partial \bar{u}_i}{\partial x_j} + \frac{\partial \bar{u}_j}{\partial x_i} \right) = -2v_T \bar{S}_{ij} \quad (10)$$

ثبت و باستفاده از رابطه (۶) سطح فشار صوت روی سطح سیلندر محاسبه شده است.

$$\text{SPL} = 20 \log \left( \frac{\bar{p}_{rms}}{p_0} \right)$$

$$\bar{p}_{rms} = \sqrt{\frac{(p_1^2 + p_2^2 + \dots + p_n^2)}{n}} \quad (6)$$

$$\bar{p}_i = p_i - \bar{p}_i$$

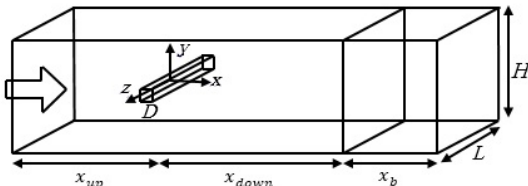
در این رابطه  $p_i, p_0 = 20\mu\text{Pa}$  مؤلفه نوسانی فشار لحظه‌ای بر حسب پاسکال است.

### رهیافت گردابه‌های بزرگ

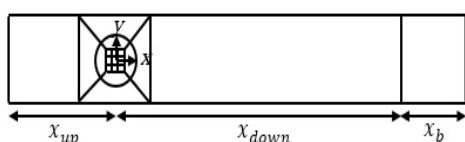
برای شبیه‌سازی جریان از رهیافت گردابه‌های بزرگ استفاده شده است که در این بخش، به معادلات این مدل اشاره می‌شود [۱۸]. رهیافت گردابه‌های بزرگ براساس تئوری کولموگروف پایه‌گذاری شده است. در این تئوری فرض شده است که گردابه‌های بزرگ وابسته به هندسه جریان هستند و مشخصات گردابه‌های کوچک برای تمام هندسه‌ها یکنواخت است. توجیه این روش این است که گردابه‌های بزرگ تر بیشتر انرژی جریان را با خود حمل می‌کنند و در جریان‌های مختلف بسیار متفاوت هستند. مقیاس‌های کوچک در مقایسه با مقیاس‌های بزرگ، بیشتر ایزوتروپیک، همگن، اتفاقی و بی‌قاعده‌اند و دارای طول عمر کوتاه‌تری هستند. هم‌چنین این گردابه‌ها سریع‌تر میرا می‌شوند و نیز کمتر تحت تأثیر شرایط مرزی قرار می‌گیرند و در اکثر جریان‌ها تا حدی مشابه هستند. این ویژگی اجازه می‌دهد که گردابه‌های بزرگ به طور صریح و دقیق حل شوند و گردابه‌های کوچک به وسیله مدل‌سازی مقیاس زیرشبکه، مدل‌سازی شوند.

معادلات رهیافت گردابه‌های بزرگ با اعمال نمودن نوعی فیلتر عمومی مکانی بر معادلات اصلی جریان به دست می‌آیند. این کار برای محدود نمودن

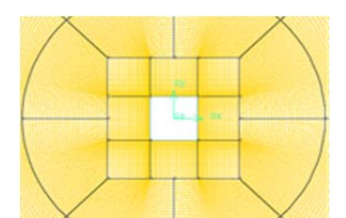
استقلال حل از شبکه یکی از مراحل مهم در هر مطالعه عددی است و باعث می‌شود از جهتی پارامترها دقیق تر محاسبه شوند و از جهتی دیگر هزینه محاسباتی مناسب تحمیل شود. به منظور یافتن جواب‌های مستقل از شبکه محاسباتی، شبکه‌هایی در محدوده  $0/795 \text{ تا } 0/74$  میلیون سلول ایجاد شده و ضریب فشار متوسط ( $C_p$ ) روی سطح سیلندر در عدد رینولدز  $5000$  برای تمام شبکه‌ها در زاویه حمله ( $\alpha$ ) صفر درجه محاسبه و نتایج در شکل (۴) نشان داده شده است. نتایج مشابهی برای اعداد رینولدز دیگر نیز به دست آمده است. به منظور اعتبارسنجی، نتایج با کار تجربی دورنینو [۲] مقایسه شده است. شبکه با  $1/7$  میلیون سلول اختلاف کمی با شبکه  $1/74$  میلیون سلول داشته است و از جهتی تطابق خوبی با نتایج تجربی دورنینو [۲] دارد لذا شبکه با  $1/7$  میلیون سلول به عنوان شبکه مورد بررسی انتخاب شده است.



شکل ۱ دامنه محاسباتی استفاده شده در این مطالعه



شکل ۲ نمایی از تقسیمات انجام شده در کل میدان



شکل ۳ شبکه تولید شده در نزدیکی سیلندر

که  $\bar{S}$  تانسور نرخ کرنش،  $j_3$  دلتا کرونکر و  $v_T$  ویسکوزیتی توربولانسی هستند. در این مطالعه از این مدل زیرشبکه استفاده شده است. این مدل نسبت به مدل‌های دیگر نتایج بهتری را شبیه‌سازی می‌کند [۲۰]. فرکانسی را که ریزش گردابه برای یک سیلندر در آن رخ می‌دهد می‌توان با استفاده از معادله (۱۱) بدست آورد:

$$St = \frac{fD}{U} \quad (11)$$

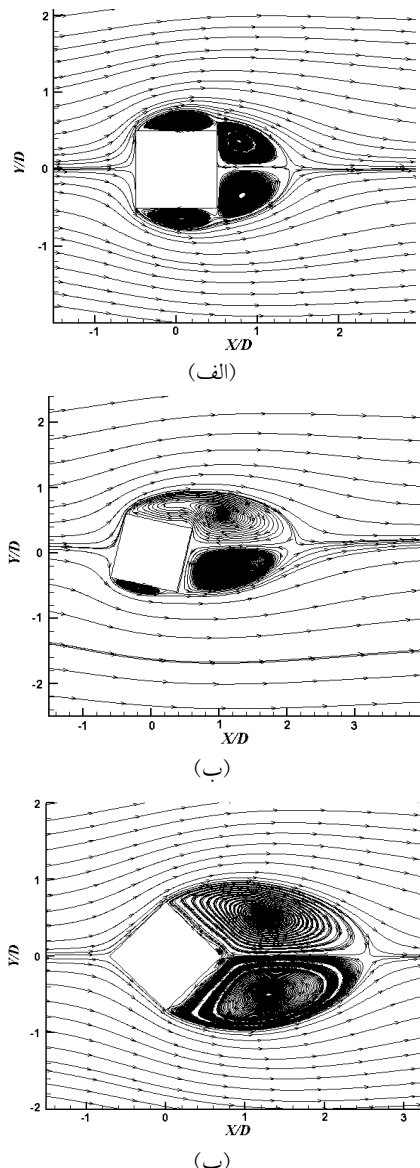
که  $St$  عدد استروهال،  $f$  فرکانس ریزش گردابه،  $D$  طول ضلع سیلندر و  $U$  سرعت جریان آزاد است.

### هندسه و شبکه محاسباتی

شماتیکی از هندسه سه بعدی، دامنه محاسباتی و محل قرارگیری سیلندر مربعی در شکل (۱) نشان داده شده است.  $\mathbf{D}$  طول ضلع سیلندر،  $\mathbf{x}_{up}$  طول بالادست جریان با اندازه پانزده برابر طول ضلع سیلندر،  $\mathbf{x}_{down}$  طول پایین دست جریان با اندازه چهل برابر طول ضلع سیلندر و  $\mathbf{x}_b$  طول بافر با اندازه ده برابر طول ضلع سیلندر هستند. در مطالعات عددی که قبل تر انجام شده چنین نتیجه‌گیری شده است که در مرز خروجی نباید نوسانات فشار وجود داشته باشد، به این منظور منطقه بافر اضافه شده است تا عمل میراکنندگی امواج را انجام دهد.  $\mathbf{H}$  طول ارتفاع میدان حل با اندازه ده برابر طول ضلع سیلندر و  $\mathbf{L}$  طول بعد سوم میدان حل با اندازه  $12/5$  برابر طول ضلع سیلندر است.

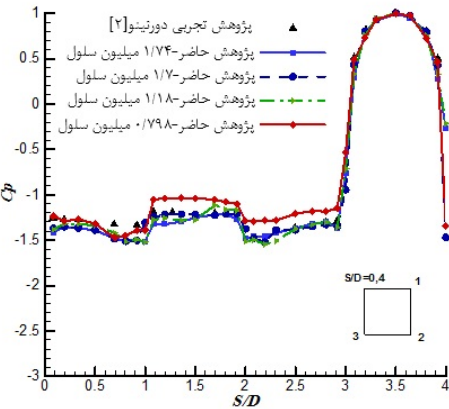
طرایی مدل هندسی و تولید شبکه محاسباتی با استفاده از نرم‌افزار گمبیت انجام گرفته است و شبکه به صورت بدون سازمان، غیریکنواخت و چهار وجهی است. به منظور افزایش دقیقت محاسباتی در نزدیکی سیلندر از شبکه با تراکم بیشتری استفاده شده است. در شکل (۲) نمایی از تقسیمات انجام شده در کل میدان حل و در شکل (۳) شبکه تولید شده در نزدیکی سیلندر نشان داده شده است.

چرخشی کوچکی روی سطح پایینی ایجاد می‌شود. اتصال مجدد خطوط جریان به دیواره باعث افزایش فشار روی سطح پایینی سیلندر می‌شود. به دلیل شرایط خاص جدایی و اتصال جریان، زاویه حمله سیزده درجه به عنوان زاویه حمله بحرانی شناخته می‌شود. در زاویه حمله ۴۵ درجه جدایی جریان از سطح در لبه‌های بالایی و پایینی اتفاق افتاده و دو گردابه بزرگ نسبتاً متقاضی در ناحیه ویک ایجاد شده است.



شکل ۵ خطوط متوسط جریان در عدد رینولدز ۴۶۰۰۰:  
الف) زاویه حمله صفر درجه، ب) زاویه حمله ۱۳ درجه،  
پ) زاویه حمله ۴۵ درجه

برای مرز ورودی از شرط مرزی سرعت یکنواخت ثابت، برای مرز خروجی و صفحات بالایی و پایینی از شرط مرزی فشار خروجی و برای صفحات کناری، از شرط مرزی دیوار با شرط عدم لغزش استفاده شده است. هم‌چنین حل عددی جریان برای اعداد رینولدز ۴۶۰۰۰، ۵۰۰۰ و ۶۹۰۰۰ متناسب با کار تجربی دورنیو [2] به کمک مدل رهیافت گردابه‌های بزرگ و با گام زمانی ۰/۰۰۰۱ ثانیه برای شش زاویه حمله صورت گرفته است.



شکل ۴ ضریب فشار متوسط روی سطح سیلندر در شبکه‌های مختلف

## نتایج

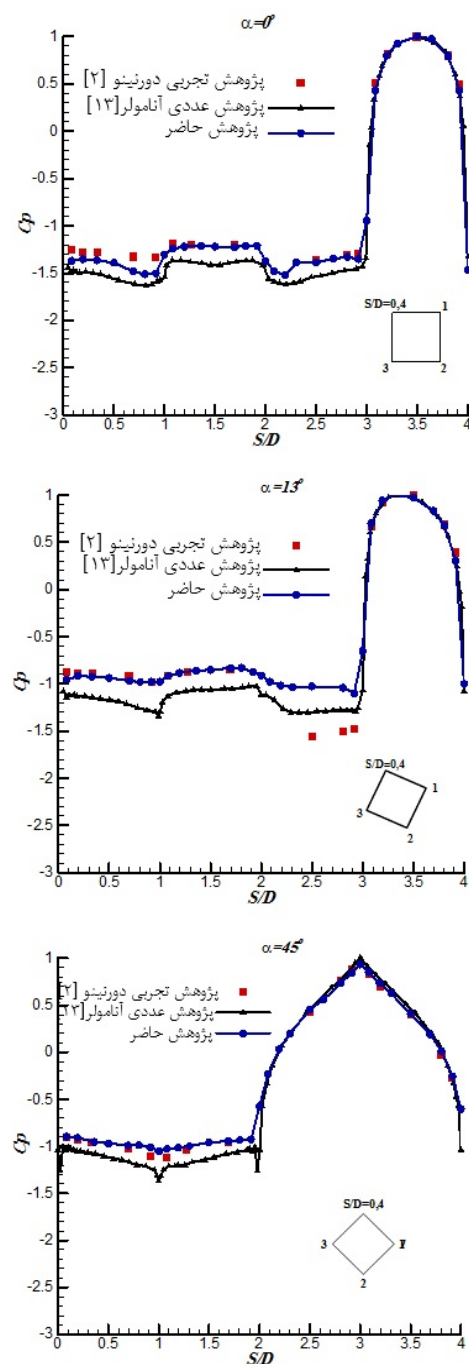
در شکل (۵) خطوط جریان متوسط‌گیری شده در عدد رینولدز ۴۶۰۰۰ در صفحه میانی ( $z = 0$ ) برای سه زاویه حمله صفر درجه، ۱۳ درجه و ۴۵ درجه نشان داده شده است. در زاویه حمله صفر درجه همان‌طور که انتظار می‌رود ساختار نسبتاً متقاضی به دست آمده است. جدایی جریان در دو گوشۀ جلویی اتفاق می‌افتد و دو ناحیه چرخشی کوچک در بالا و پایین جسم و دو ناحیه چرخشی بزرگ‌تر در ناحیه ویک تشکیل می‌شود که بسیار شبیه به هم هستند. در زاویه حمله سیزده درجه در نیم صفحه بالایی گردابه کوچک و بزرگ با یکدیگر ترکیب می‌شوند. جریان در لبه جلویی صفحه پایینی از سطح جدا می‌شود و در نزدیکی لبه عقبی همان سطح اتصال به سطح روی می‌دهد و ناحیه

پارامترهای مختلف جریان است. به همین منظور در شکل (۶) توزیع متوسط زمانی ضرب فشار اطراف سیلندر برای سه زاویه حمله صفر، سیزده و ۴۵ درجه برای عدد رینولدز ۵۰۰۰ در صفحه  $Z/D = 5$  نشان داده شده است. با مقایسه حل عددی حاضر با نتایج تجربی دورنینو [۲] مشهود است که رهیافت گردابهای بزرگ با دقت قابل قبولی جریان را شبیه‌سازی می‌کند. نتایج نشان می‌دهد در زاویه حمله صفر و ۴۵ درجه الگوی جریان متقارن است ولی در زاویه حمله سیزده درجه کاهش فشار در سطح پایینی دیده شده است که ناشی از اتصال مجدد خطوط جریان به سطح وجود گردابهای کوچک در کنار این سطح است. با دقت در این شکل می‌توان دریافت که به‌جز در زاویه حمله سیزده درجه روی وجه پایینی، در بقیه حالات نتایج به‌دست آمده از حل عددی در مطالعه حاضر با نتایج تجربی سازگاری خوبی دارند. علت این خطای نیز شاید نیاز به ریزتر شدن شبکه برای رسیدن به یک جواب دقیق با رهیافت گردابهای بزرگ برای این حالت بحرانی است. جدول (۱) بیشترین خطای نسبی نتایج را به تفکیک وجوده برای هر حالت به‌دست می‌دهد.

جدول ۱ بیشینه خطای نسبی ضرب فشار متوسط برای عدد رینولدز ۵۰۰۰

$\alpha \leq S/D \leq 4$	$2 \leq S/D \leq 3$	$1 \leq S/D \leq 2$	$0.5 \leq S/D \leq 1$	زاویه حمله
% ۴/۴۵۵	% ۳/۴۹۲	% ۴/۷۴	% ۹/۷۱	۰ درجه
% ۳/۶۳۴	% ۲۴/۲۷۱	% ۴/۷۹۷	% ۸/۵۰۴	۱۳ درجه
% ۵/۳۲	% ۵/۵۶۱	% ۷/۶۶۴	% ۸/۷۸۱	۴۵ درجه

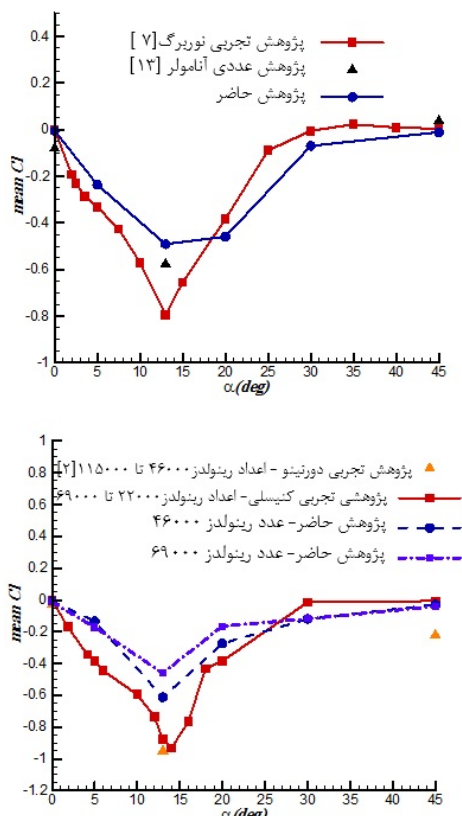
در شکل (۷) تغییرات ضرب پسای متوسط‌گیری شده در سه عدد رینولدز ۵۰۰۰، ۴۶۰۰۰ و ۶۹۰۰۰ برای زوایای حمله مختلف نشان داده شده است. نتایج نشان می‌دهد که ضرب پسای در اعداد رینولدز مختلف



شکل ۶ توزیع فشار اطراف سیلندر در عدد رینولدز ۵۰۰۰:  
الف) زاویه حمله صفر درجه، ب) زاویه حمله ۱۳ درجه،  
پ) زاویه حمله ۴۵ درجه

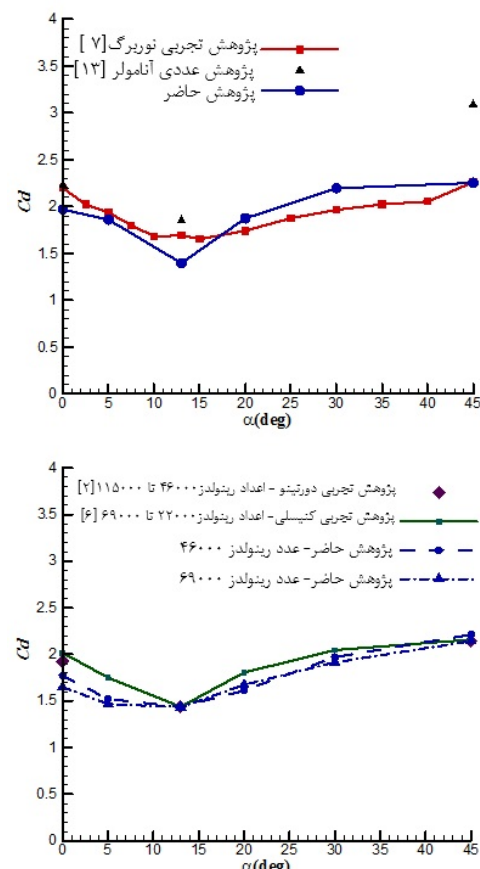
توزیع فشار اطراف سیلندر از پارامترهای مؤثر در توصیف الگوی جریان اطراف سیلندر و تعیین مقادیر

یکسانی دارد. در زوایای حمله صفر و ۴۵ درجه به علت تقارن موجود در رژیم جریان متوسط‌گیری شده گردابه‌های تشکیل شده در پشت سیلندر متقاضان هستند؛ بنابراین توزیع فشار روی سطح بالایی و پایینی متقاضان است و نیرویی در جهت عمودی به سیلندر وارد نمی‌شود و ضریب نیروی برآی متوسط در هر عدد رینولدز برابر صفر خواهد بود. اما در سایر زوایای حمله این تقارن وجود ندارد و لذا نیروی برآی متوسط در حالت کلی مخالف صفر خواهد شد. با افزایش زاویه حمله نیروی برآی متوسط در محدوده زاویه حمله سیزده درجه کمینه می‌شود و سپس افزایش می‌یابد. ذکر این نکته لازم است که با توجه به منفی شدن نیروی برآ، کمینه شدن این نیرو به معنای منفی تر شدن آن است. ولی باید توجه داشت اندازه نیروی برآ که رو به پایین به سیلندر وارد می‌شود بیشتر می‌شود.



شکل ۸ تغییرات ضریب برآی متوسط در زوایای حمله مختلف:  
الف) عدد رینولدز ۵,۰۰۰، ب) اعداد رینولدز ۴۶,۰۰۰ و ۶۹,۰۰۰

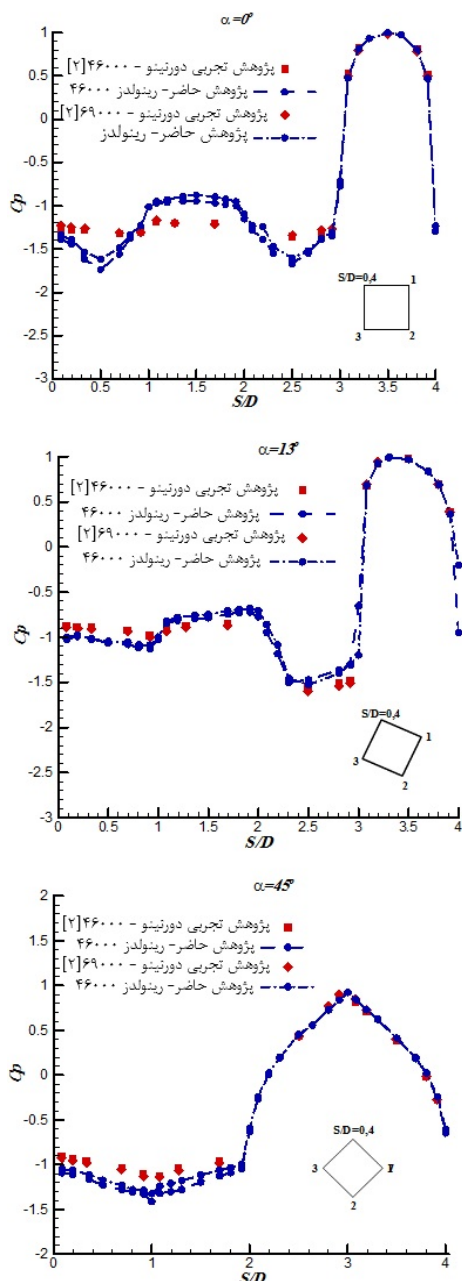
روند یکسانی دارد. با افزایش زاویه حمله، اندازه طولی دنباله جریان بزرگ‌تر می‌شود و از جهتی لایه برشی جداشده متراکم می‌شود و پهنه‌ای ناحیه دنباله کاهش می‌یابد درنتیجه ضریب پسا به حداقل مقدار خود در محدوده زاویه سیزده درجه می‌رسد. با افزایش زاویه حمله، پهنه‌ای ناحیه ویک افزایش می‌یابد و ضریب پسا افزایش می‌یابد. همان‌گونه که در شکل (۷) مشخص است، نتایج به دست آمده از مطالعه حاضر تطابق قابل قبولی با نتایج تجربی دارند.



شکل ۷ تغییرات ضریب پسا متوسط در زوایای حمله مختلف:  
الف) عدد رینولدز ۴۶,۰۰۰، ب) اعداد رینولدز ۴۶,۰۰۰ و ۶۹,۰۰۰

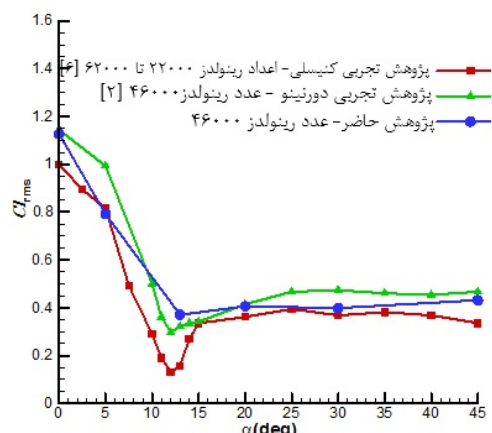
در شکل (۸) تغییرات ضریب برآی متوسط‌گیری شده در سه عدد رینولدز ۵,۰۰۰، ۴۶,۰۰۰ و ۶۹,۰۰۰ در زوایای حمله مختلف نشان داده شده است. نتایج نشان می‌دهد که ضریب برآ در اعداد رینولدز مختلف روند

عدد رینولدز ۵۰۰۰ باعث افزایش کمتر از ۱۰ درصدی در ضریب فشار متوسط شده است، که می‌توان نتیجه گرفت مطابق انتظار برای چنین هندسه‌هایی با لبه‌های تیز و نقاط جدایی ثابت، عدد رینولدز در این محدوده تأثیر چشم‌گیری بر روی توزیع ضریب فشار متوسط ندارد.



شکل ۱۰ توزیع فشار اطراف سیلندر در عدد رینولدز ۴۶۰۰۰ و ۶۹۰۰۰: (الف) زاویه حمله صفر درجه، (ب) زاویه حمله سیزده درجه، پ) زاویه حمله ۴۵ درجه

کمیت دیگری که در بررسی جریان باید مورد مطالعه قرار گیرد میانگین مجذور مربعات (rms) نیروها است. کمیت میانگین مجذور مربعات نیروهای برآ و پسا را می‌توان به عنوان معیاری از قدرت ریزش گردابه در پشت سیلندر تلقی کرد. از جهتی زمانی که ریزش گردابه اتفاق می‌افتد نوسانات نیروهای برآ و پسا از عوامل تولید صوت هستند [2]. لذا در شکل (۹) تغییرات میانگین مجذور مربعات ضریب نیروی برآ در زوایای حمله مختلف و عدد رینولدز ۴۶۰۰۰ نشان داده شده است. نتایج نشان می‌دهد روند تغییرات میانگین مجذور مربعات همانند تغییرات ضرایب برآ و پسا متوسط‌گیری شده است. با افزایش زاویه مجذورات میانگین مربعات ضریب نیروی برآ کاهش می‌یابد تا در زاویه حمله سیزده درجه به کمترین مقدار خود می‌رسد سپس با افزایش زاویه حمله این کمیت نیز افزایش می‌یابد. با مقایسه حل عددی حاضر با نتایج تجربی موجود مشهود است که رهیافت گردابه‌های بزرگ با دقیق قابل قبولی نتایج را شبیه‌سازی کرده است.

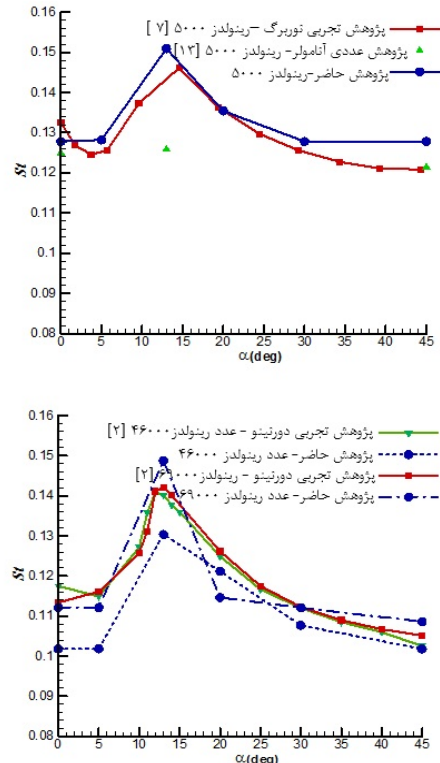


شکل ۹ تغییرات میانگین مجذور مربعات نیروی برآ در زوایای حمله مختلف

در شکل (۱۰) متوسط زمانی ضریب فشار سطحی برای دو عدد رینولدز ۴۶۰۰۰ و ۶۹۰۰۰ با نتایج تجربی دورنیتو [2] مقایسه شده است. همان‌طور که مشخص است افزایش ۹ و ۱۴ برابری عدد رینولدز در مقایسه با

صدای ناشی از جریان هوا حول سیلندر در سه عدد رینولدز توسط دو شنونده در مختصات  $(0, 0/55)$ ،  $(0/21, 0/21)$  خارج از میدان حل سیال مطابق با کار تجربی دورنینو [2] بررسی شدند (فواصل به متر هستند). موقعیت قرارگیری شنوندها نسبت به سیلندر در شکل (۱۲) نشان داده شده است. شکل (۱۳) سطح فشار صوت را برای زوایای حمله و اعداد رینولدز مختلف نشان می‌دهد. لازم به ذکر است که سطح فشار صوتی دریافت شده توسط هر دو شنونده در تمام زوایای حمله نزدیک به هم است. نتایج شکل (۱۳) نشان می‌دهد که سطح فشار صوت در اعداد رینولدز مختلف روند یکسانی را دارند. همان‌طور که بیان شد نیروهای آئرودینامیکی برآ و پسا و نیز نوسانات این نیروها در محدوده زاویه حمله سیزده درجه به کمترین مقدار خود می‌رسند، لذا در این زاویه کمترین مقدار نیروی نوسانی به سیلندر وارد می‌شود و براساس قانون عمل و عکس‌العمل سیلندر کمترین عکس‌العمل و کمترین مقدار صدا را تولید می‌کند. روند تغییرات سطح فشار صوت در زوایای حمله مختلف مشابه تغییرات ضرایب برآ و پسا است. با افزایش زاویه حمله تا زاویه حمله سیزده درجه سطح فشار صوت کاهش می‌یابد و سپس با افزایش زاویه حمله سطح فشار صوت نیز افزایش می‌یابد. نتایج حل عددی مطابقت خوبی با نتایج تجربی دارند و بیشترین اختلاف با نتایج تجربی  $10^\circ$  درصد است. با افزایش عدد رینولدز سطح فشار صوت در تمام نقاط افزایش می‌یابد؛ دلیل این این است که افزایش عدد رینولدز باعث افزایش آشفتگی جریان می‌شود. این موضوع با توجه به این‌که یکی از منابع تولید نویز و صدا، آشفتگی جریان است، باعث می‌شود صدای بلندتری توسط شنوندها دریافت شود. در مورد اختلاف نتایج تجربی و عددی، باید به این نکته توجه داشت که در مطالعات تجربی، نویزهایی مانند نویز فن تونل باد، نویزهای الکترونیکی وجود دارند که طبیعتاً در حل

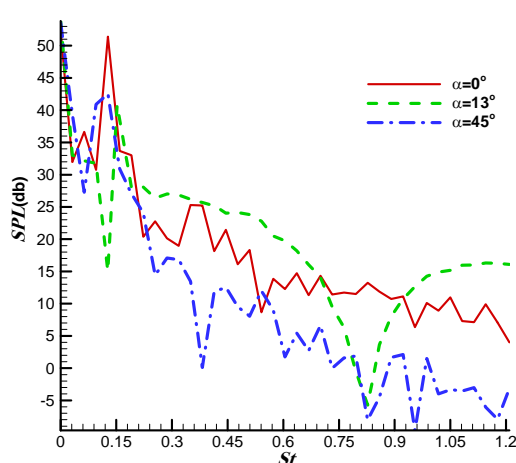
عدد استروهال به نحوی فرکانس غالب ریزش گردابه را بیان می‌کند. در بخش دیگری از این مطالعه، تغییر عدد استروهال در زوایای حمله مختلف مورد بررسی قرار داده شد که نتایج مربوط در شکل (۱۱) نشان داده شده است. این بررسی نشان داد در اعداد رینولدز مختلف با تغییر زاویه حمله عدد استروهال روند یکسانی را طی می‌کند. در محدوده زوایای حمله بین صفر تا سیزده درجه با افزایش زاویه حمله، عدد استروهال افزایش می‌یابد و سپس تا زاویه حمله  $45^\circ$  درجه با افزایش زاویه حمله عدد استروهال کاهش می‌یابد. بیشترین مقدار عدد استروهال در زاویه حمله سیزده درجه روی داده است که به دلیل بازنشست جریان روی وجه جانبی سیلندر است. نتایج حل عددی مطابقت خوبی با نتایج تجربی دارند و بیشترین اختلاف با نتایج تجربی در زاویه بحرانی برابر با هفت درصد است.



شکل ۱۱ تغییرات عدد استروهال در زوایای حمله مختلف:  
الف) عدد رینولدز  $5000$ ، ب) اعداد رینولدز  $46000$  و  $69000$

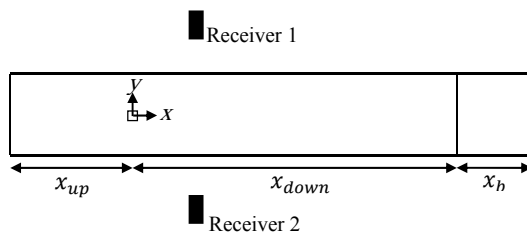
فرکانسی که ریزش گردابه در آن اتفاق می‌افتد برابر با فرکانس (عدد استروهال) بزرگ‌ترین قله نمودار طیفی سطح فشار صوت بر حسب عدد استروهال است. در شکل (۱۴) طیف سطح فشار صوت بر حسب فرکانس بدون بعد در سه زاویه حمله برای شونده یک نشان داده شده است. نتایج نشان می‌دهد که بزرگ‌ترین قله زاویه حمله سیزده درجه درجه دارای سطح فشار صوت کمتری است ولی دارای عدد استروهال بیشتری است. کمتر بودن اندازه سطح فشار صوت در طیف مربوط به زاویه ۱۳ درجه نشان دهنده کمتر بودن نویز آیرودینامیکی برای این زاویه است. نتایج عدد استروهال به دست آمده از طیف سطح فشار صوت تطابق خوبی با نتایج استروهال به دست آمده از نوسانات نیروی برآ دارد (شکل ۱۲).

در شکل (۱۵) تغییرات سطح فشار صوت در اعداد رینولدز مختلف برای زاویه حمله صفر درجه نشان داده شده است. نتایج حاکی از آن است که افزایش عدد رینولدز باعث افزایش نوسانات و سطح فشار صوت شده ولی مشابه آنچه در مورد عدد استروهال به دست آمده از نیروی برآی نوسانی دیده شد، تأثیر زیادی بر روی عدد استروهال بیشترین قله ندارد.

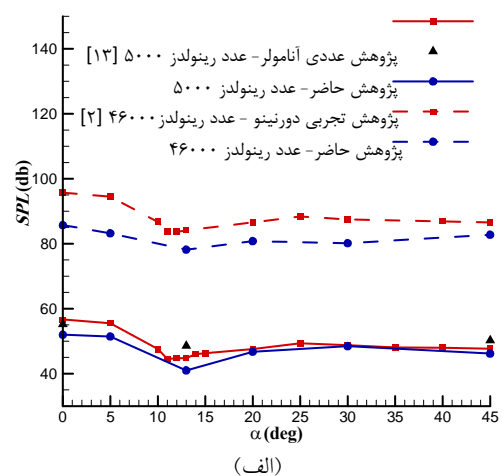


شکل ۱۴ طیف سطح فشار صوت برای سه زاویه حمله صفر، ۱۳ و ۴۵ درجه در عدد رینولدز ۵۰۰۰

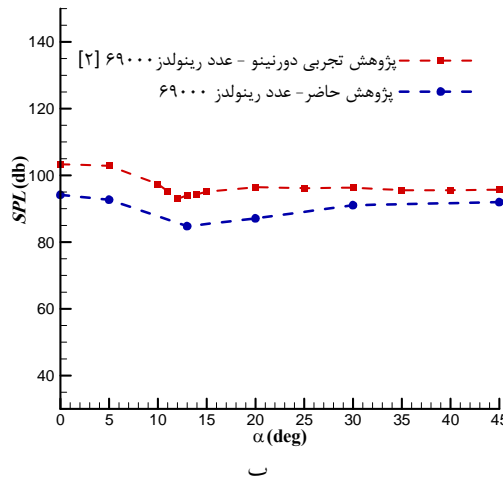
عددی چنین منابعی از نویز وجود ندارند؛ لذا می‌توان انتظار داشت که نویز اندازه‌گیری شده در دوردست در مطالعات تجربی بیشتر از نویز ثبت شده در مطالعات عددی برای شرایط مشابه باشد.



شکل ۱۲ شماتیک قرارگیری شنونده‌ها



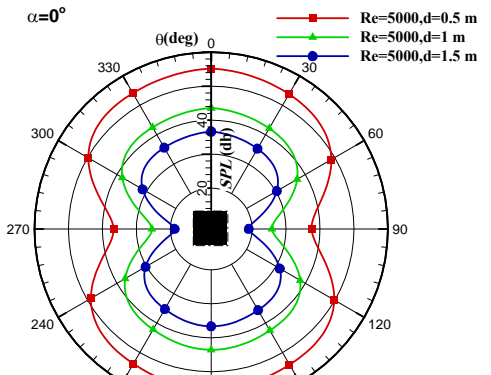
(الف)



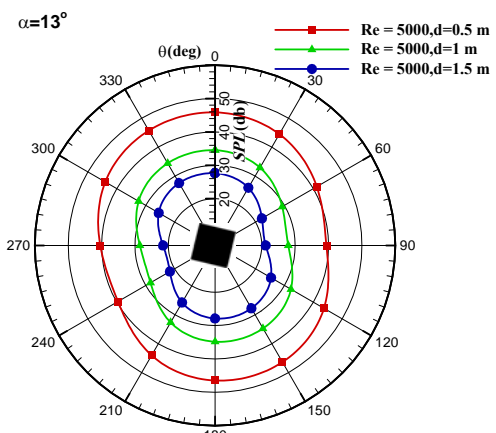
ب

شکل ۱۳ سطح فشار صوت در دوردست آکوستیکی در زوایای حمله مختلف: (الف) در اعداد رینولدز ۵۰۰۰ و ۴۶۰۰۰، (ب) در اعداد رینولدز ۶۹۰۰۰

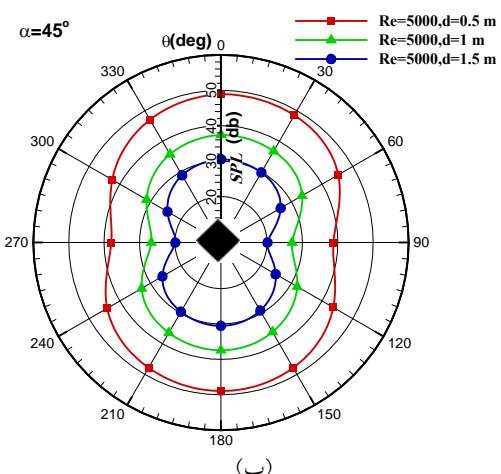
دلیل آن تضعیف شدت آشفتگی جریان و افزایش  
فاصله از منبع تولید صدا است.



(الف)

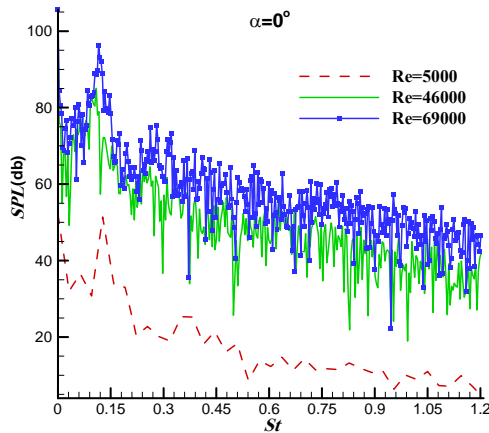


(ب)



(پ)

شکل ۱۶ سطح فشار صوت در فواصل مختلف در عدد رینولدز ۵۰۰۰: (الف) زاویه حمله صفر درجه، (ب) زاویه حمله سیزده درجه، (پ) زاویه حمله ۴۵ درجه



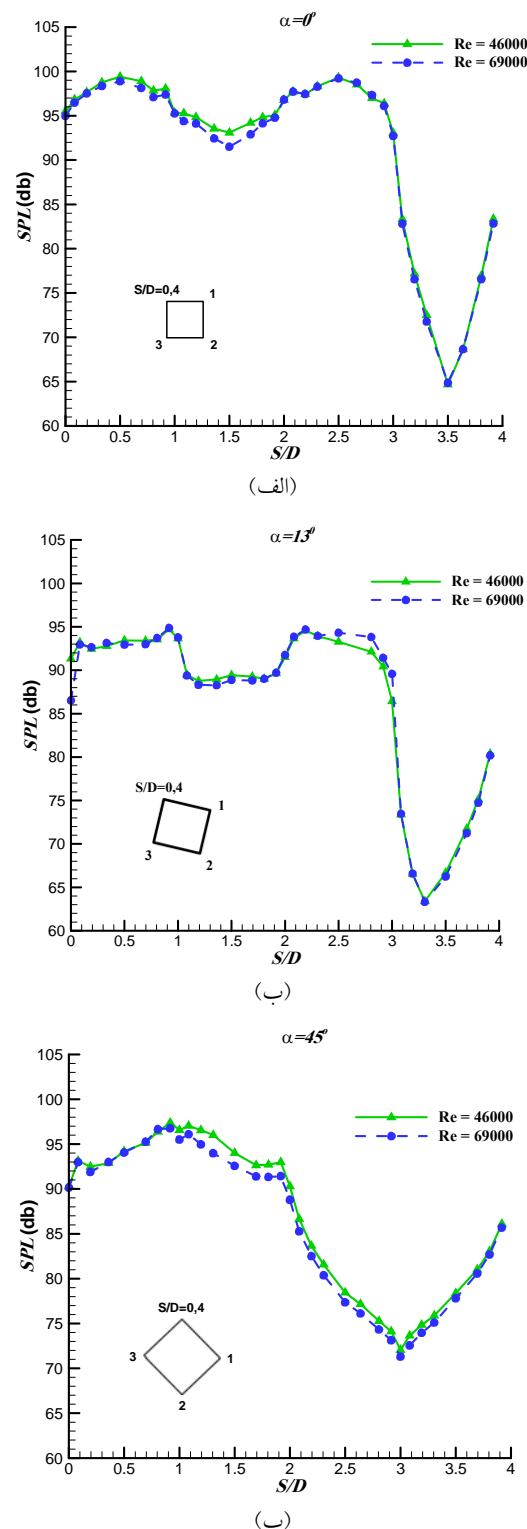
شکل ۱۵ طیف سطح فشار صوت در اعداد رینولدز مختلف

سطح فشار صوت در فواصل  $0.5/5$  متری، ۱ متری و  $1/5$  متری از سیلندر در عدد رینولدز ۵۰۰۰ در زوایای حمله متفاوت به منظور بررسی جهت انتشار صوت نیز مورد بررسی قرار گرفت. به این منظور دوازده شنونده در زوایای مختلف قرار داده شده‌اند و سطح فشار صوتی دریافتی توسط هر یک از آنها محاسبه شده است. نتیجه این کار در شکل (۱۶) نشان داده شده است. با توجه به این‌که منبع صوت، منبع صوت درجه دو است [۱۳] لذا انتشار صوت یکسانی در تمام جهات ندارد براساس روابط تئوری [۱۶] کمترین سطح فشار صوت در زوایای  $90^\circ$  درجه و  $270^\circ$  درجه، و بیشترین سطح فشار صوت در زوایای صفر درجه و  $180^\circ$  درجه است که در زوایای حمله غیربحراتی به خوبی مشهود است. از جهتی با توجه به این‌که نوسانات نیروی برآ حدود ده برابر نیروی پسا است [۱۳]، لذا انتشار صوت بیشتر تحت تأثیر نوسانات برآ قرار دارد و بیشترین مقدار سطح فشار صوت در راستای عرضی است [۲۱]. براساس نتایج مشهود است که تغییر زاویه حمله تغییری در رفتار نمودارهای جهتی ایجاد نمی‌کند ولی کمترین سطح فشار صوت مربوط به زاویه حمله سیزده درجه است. براساس نتایج در زاویه حمله بحرانی اختلاف بین بیشترین سطح فشار صوت و کمترین سطح فشار کمتر از زوایای دیگر است. با افزایش فاصله از سیلندر سطح فشار صوت کاهش می‌یابد و

در بخش دیگر این مطالعه سطح فشار صوت بر روی سطح سیلندر بالاستفاده از رابطه (۶) محاسبه شده است و نتایج حاصل در شکل (۱۷) نشان داده شده است. نتایج نشان می‌دهد افزایش عدد رینولز تأثیر چندانی بر روی سطح فشار صوت محاسبه شده روی سطح سیلندر نداشته است. کمترین سطح فشار صوت بر روی صفحه جلویی قرار دارد و نسبت به زاویه حمله، مکان این نقطه بین گوششای وجه جلویی جایه‌جا می‌شود. در زاویه حمله صفر درجه، این نقطه در وسط صفحه جلویی قرار دارد ولی با افزایش زاویه حمله به سمت گوششای پایینی نزدیک می‌شود. مقدار سطح فشار صوت روی سطح ارتباط نزدیکی با الگوی جریان و گردابه‌های نزدیک سطح دارد. در نزدیکی مرکز گردابه و نزدیکی نقطه جدایش به دلیل شدت آشفتگی بیشتر سطح فشار صوت بیشتر است [۲۲]. همان‌طور که در بررسی دوردست آکوستیکی، کمترین مقدار سطح فشار صوت در زاویه حمله سیزده درجه مشاهده شد، بر روی سطح جسم هم این مطلب صادق است. سطح فشار صوت برای زاویه صفر و ۴۵ درجه مقدار بیشتری در مقایسه با زاویه حمله سیزده درجه اختیار می‌نماید.

### نتیجه‌گیری

در این مطالعه شبیه‌سازی میدان جریان و پدیده آیرو-صوتی ناشی از جریان هوا حول سیلندر مربعی با زوایای حمله مختلف به وسیله رهیافت اغتشاشی گردابه‌های بزرگ و بالاستفاده از مدل ویلیام-هاکینز انجام شده است. نتایج توزیع فشار و متوسط ضرایب برآ و پسا و مجدور میانگین مربعات ضربی نیروی برآز شبیه‌سازی عددی با نتایج تجربی و عددی موجود مقایسه شده است. نتایج حل عددی حاضر در مقایسه با پژوهش عددی مرجع [۱۳] با دقت بیشتری نتایج را شبیه‌سازی کرده است. روند تغییرات به خوبی شبیه‌سازی شده و حداقل این ضرایب در زاویه حمله



شکل ۱۷ سطح فشار صوت بر روی سطح سیلندر در اعداد رینولز ۴۶۰۰۰ و ۶۹۰۰۰: (الف) زاویه حمله صفر درجه، (ب) زاویه حمله سیزده درجه، (پ) زاویه حمله ۴۵ درجه

$C_0$	سرعت صوت ( $\text{ms}^{-1}$ )
$C_p$	ضریب فشار متوسط
$d$	فاصله از منبع صوت (m)
$H(f)$	تابع پله
$n$	مؤلفه عمود بر سطح منبع صوت
$P$	فشار (pa)
$\text{Re}$	عدد رینولذر
$\overline{S}_r$	تانسور نرخ کرنش
$t$	زمان در مکان x (s)
$\dot{t}$	زمان در مکان y (s)
$u$	سرعت سیال ( $\text{ms}^{-1}$ )
$v$	سرعت صفحه تولید صدا ( $\text{ms}^{-1}$ )
$x$	مکان محاسبه ویژگی آکوستیکی (m)
$y$	مکان تولیدکننده صوت (m)
<b>علائم یونانی</b>	
$\alpha$	زاویه حمله (درجه)
$\delta_{ij}$	دلتا کرونکر
$\delta(f)$	تابع دلتای دیراک
$\rho$	چگالی ( $\text{kgm}^{-3}$ )
$\mu$	لزجت دینامیکی ( $\text{kgm}^{-1}\text{s}^{-1}$ )
$\sigma_{ij}$	تانسور تنش ویسکوز
$\tau_{ij}$	تانسور تنش لایتھیل
<b>زیرنویس‌ها</b>	
0	پارامترهای مربوط به جریان آزاد سیال

بحرانی اتفاق افتاده است. سطح فشار صوت در دوردست آکوستیکی و برروی سطح سیلندر محاسبه شده است. در این تحقیق مشاهده گردید که نرمافزار فلوئنت سطح فشار صوت روی سطح جامد را به درستی ارزیابی نمی‌کند، لذا به عنوان نوآوری با استخراج داده‌های زمانی فشار، سطح فشار صوت از روابطی متفاوت با آن‌چه در نرمافزار فلوئنت وجود دارد محاسبه شده است. حل عددی، روند تغییرات سطح فشار صوت در دوردست آکوستیکی را به خوبی شبیه‌سازی کرده است و اختلاف نتایج سطح فشار صوت دریافتی از شنونده‌ها در حل عددی با نتایج تجربی کمتر از ۱۰ درصد است. حداقل سطح فشار صوت در زاویه حمله بحرانی (۱۳ درجه) اتفاق افتاد که متأثر از حداقل شدن نوسانات نیروهای برآ و پسا است. با افزایش عدد رینولذر آشفتگی جریان بیشتر می‌شود، لذا شنونده‌ها سطح صدای بیشتری را ثبت می‌کنند. اگرچه زمان محاسبات با مدل اغتشاشی گردابه‌های بزرگ بیشتر از حل‌های عددی با مدل‌های دو معادله‌ای است ولی این مدل توانایی شبیه‌سازی جریان و پارامترهای جریان را با دقت قابل قبولی دارد.

## فهرست علائم

- $C_d$  ضریب متوسط نیروی پسا
- $C_l$  ضریب متوسط نیروی برآ

## مراجع

- Becker, S., Escobar, M., Hahn, C., Ali, I., Kaltenbachery, M., Baselz, B. and Grunewaldz, M., "Experimental and Numerical Investigation of the Flow Induced Noise from a Forward Facing Step", *11th AIAA/CEAS Aeroacoustics Conference*, Montorey, California, 23-25 May, (2005).
- Dorneanu, J.F., "Tonal and silent wake modes of a square rod at incidence ", *ACTA Acustica United with Acustica*, Vol. 102, No. 3, pp. 419-422, 2016.

3. Vickery, B.J. , "Fluctuating lift and drag on a long cylinder of square cross-section in a smooth and in a turbulent stream", *Fluid Mechanic*, Vol. 25, pp. 481-494, 1996.
4. Bearman, P.W. and Obasaju, E.D., "An experimental study of pressure fluctuations on fixed and oscillating square section cylinders", *Journal of Fluid Mechanics*, Vol 119, pp. 297-321, (1981).
5. Igarashi, T., "Characteristics of the flow around a square prism", *Bulletin of JSME*, Vol. 27, (1984) .
6. Knisely, C.W., "strouhal numbers of rectangular cylinders at incidence-A review and new data", *Journal of Fluids and Structures*, Vol 4, No. 4, (1990)
7. Norberg, C., "Flow around rectangular cylinders Pressure forces and wake frequencies", *Journal of Wind Engineering and Industrial Aerodynamics*, Vol. 49, No. 1, pp. 187-196, (1993)
8. Rodi, W., "Comparison of LES and RANS calculations of the flow around bluff bodies", *Journal of Wind Engineering and Industrial Aerodynamics*, Wind Eng. 67, pp.65-78,(1997)
9. Fujita, H., Sha, W., Furutani, H. and Suzuki, H., "Experimental investigations and prediction of aerodynamic sound generated from square cylinders", in *4th AIAA/CEAS Aeroacoustics Conference, Toulouse, France, AIAA Paper*, Toulouse, France, 19-21 August, (1998).
10. Tamura, T. and Miyagi, T., "The efect of turbulence on aerodynamic forces on a square cylinder with various corner shapes", *Journal of Wind Engineering and Industrial Aerodynamics*, pp. 135-145, (1999) .
11. Chen, J.M. and Liu, C-H, "Vortex shedding and surface pressures on a square cylinder at incidence to a uniform air stream", *International Journal of Heat and Fluid Flow*, (1999).
12. Hutcheson, F.V. and Thomas, F.B., "Noise Radiation from Single and Multiple Rod Configurations", *International Journal of Aeroacoustics*, Vol. 11, No. 3, pp. 291-333, 2012.
13. Mueller,A., "Large Eddy Simulation of Cross-Flow Around a Square Rod at Incidence with Application to Tonal Noise Prediction", PhD Thesis ,*University of Twente*, Holland, (2012).
14. Williams, J.E.F. and Hawkings, D.L., "Sound Generation By Turbulence And Surfaces In Arbitfrary Motion", *Philosophical Transactions of the Royal Society of London A: Mathematical, Physical and Engineering Sciences*, 264(1151): p. 321-342, (1968).
15. Lighthill, M.J., "On Sound Generated Aerodynamically. I. General Theory", Proceedings of the Royal Society A: *Mathematical, Physical and Engineering Sciences*, Vol. 211 ,No. 1107, pp. 564-587, (1952).
16. Daniel, A.R., Titlow, J.P. and Bemmen, Y.J, "Acoustic monopoles, dipoles, and quadrupoles: An experiment revisited", *American journal of physics*, (1999).
17. Rienstra, S. W. and Hirschberg, A., "An Introduction to Acoustics", PhD Thesis, *Eindhoven University of Technology*, Netherlands, (2013).
18. Lai, C.H. and Jiang, Xi, "Numerical Techniques for Direct and Large Eddy Simulations", *CRC Press*, (2009).
19. Lesieur, M., "*Turbulence in Fluids*", 4th Edition, Springer Science & Buisness Media, (2008).
20. Wang, Y.P., Chen, J., Lee, H.C. and Li, K.M., "Accurate simulations of surface pressure fluctuations and flow-induced noise near bluff body at low Mach numbers", *The Seventh International Colloquium on Bluff Body Aerodynamics and Applications*, Shanghai, China, (2012).

21. Sukri Mat, M., Shaikh Salim,S., Ismail,M., Muhamad,S. and Iyas,M. "Aeolian Tones Radiated from Flow Over Bluff Bodies", *The Open Mechanical Engineering Journal*, Vol. 7, No. 1, pp. 48-57, (2013).
22. Mohammadrezaei, M., Dehghan, A. and Movahedi, A., "Numerical investigation of sound pressure level over a forward facing step using large eddy simulation", *23rd Annual International Mechanical Engineering Conference*, Tehran, Iran, 12-14 May, (2015).